

# 1 Popište možné tvary dynamických systémů pro modely: spojité-diskrétní, lineární-nelineární.

Lineární spojité systém v časové oblasti

$$\begin{aligned}\dot{\mathbf{x}} &= \mathbf{A}\mathbf{x} + \mathbf{B}\mathbf{u} \\ \mathbf{y} &= \mathbf{C}\mathbf{x} + \mathbf{D}\mathbf{u}\end{aligned}$$

Lineární spojité systém ve frekvenční oblasti

$$\begin{aligned}s\mathbf{x} &= \mathbf{A}\mathbf{x} + \mathbf{B}\mathbf{u} \\ \mathbf{y} &= \mathbf{C}\mathbf{x} + \mathbf{D}\mathbf{u}\end{aligned}$$

Po úpravě  $\mathbf{x}(s\mathbf{I} - \mathbf{A}) = \mathbf{B}\mathbf{u}$  můžeme dosadit

$$\mathbf{y} = \mathbf{C}(s\mathbf{I} - \mathbf{A})^{-1}\mathbf{B}\mathbf{u} + \mathbf{D}\mathbf{u} \quad (1)$$

Dynamická poddajnost

$$\mathbf{G}(s) = \frac{\mathbf{y}}{\mathbf{u}} = \mathbf{C}(s\mathbf{I} - \mathbf{A})^{-1}\mathbf{B} + \mathbf{D} \quad (2)$$

Lineární diskrétní systém

$$\begin{aligned}\mathbf{x}_{t+\Delta t} &= \mathbf{M}\mathbf{x}_t + \mathbf{N}\mathbf{u}_t \\ \mathbf{y}_t &= \mathbf{O}\mathbf{x}_t + \mathbf{P}\mathbf{u}_t\end{aligned}$$

diskrétní tvar lze získat z tvaru spojitého modelu v časové oblasti

$$\begin{aligned}\mathbf{M} &= e^{\mathbf{A}\Delta t} \doteq \mathbf{I} + \mathbf{A}\Delta t \\ \mathbf{N} &= \mathbf{A}^{-1} (e^{\mathbf{A}\Delta t} - \mathbf{I}) \mathbf{B} \doteq \mathbf{B}\Delta t \\ \mathbf{O} &= \mathbf{C} \\ \mathbf{P} &= \mathbf{D}\end{aligned}$$

Nelineární systém

$$\dot{\mathbf{x}} = \mathbf{f}(\mathbf{x}) + \mathbf{g}(\mathbf{x})\mathbf{u} \quad (3)$$

$$\mathbf{y} = \mathbf{c}(\mathbf{x}) + \mathbf{d}(\mathbf{x})\mathbf{u} \quad (4)$$

## 2 Modelování poddajných struktur

Většinou vycházíme z mkp modelů s  $10^4 \div 10^6$  tvarů

$$\mathbf{M}\ddot{\mathbf{x}} + \mathbf{C}\dot{\mathbf{x}} + \mathbf{K}\mathbf{x} = \mathbf{F}$$

Ty redukujem pomocí modální transformace, kde hledáme řešení zobecněného problému vlastních čísel

$$\mathbf{K}\mathbf{V} = \mathbf{\Omega}^2\mathbf{M}\mathbf{V}$$

kde  $\phi_i$  jsou vlastní vektory a  $\omega_i$  vlastní frekvence tvořící matice  $\mathbf{V}$  a  $\mathbf{\Omega}$

$$\mathbf{V} = \begin{bmatrix} \phi_1 & \dots & \phi_N \end{bmatrix}, \quad \mathbf{\Omega}^2 = \text{diag}(\omega_i^2), \quad i \in \langle 1, N \rangle$$

Pro navzájem ortogonální vlastní vektory s vahou matice hmotnosti (získané příslušnou normalizací) platí

$$\mathbf{V}^T\mathbf{M}\mathbf{V} = \mathbf{1}, \quad \mathbf{V}^T\mathbf{K}\mathbf{V} = \mathbf{\Omega}^2$$

zavedením modální souřadnic  $\mathbf{q}$ ,  $\mathbf{x} = \mathbf{V}\mathbf{q}$  a vynásobením transponovanou maticí modální transformace  $\mathbf{V}^T$  zleva, lze převést pohybovou rovnici do tvaru

$$\mathbf{I}\ddot{\mathbf{q}} + \mathbf{\Gamma}\dot{\mathbf{q}} + \mathbf{\Omega}^2\mathbf{q} = \mathbf{V}^T\mathbf{F}, \quad \mathbf{\Omega} = \mathbf{V}^T\mathbf{K}\mathbf{V}, \quad \mathbf{\Gamma} = \mathbf{V}^T\mathbf{B}\mathbf{V}$$

O systému můžeme říct, že má proporční tlumení, je-li matice  $\mathbf{C}$  lineární kombinací matic  $\mathbf{M}$  a  $\mathbf{K}$ . Pak je tato matice diagonalizovatelná modální transformací  $\mathbf{V}$  a matice  $\mathbf{\Gamma}$  je diagonální s prvky  $\Gamma_{ii} = 2\zeta_i\Omega_i$ , kde  $\zeta_i$  jsou poměrné útlumy. Soustava se pak rozpadá na samostatně řešitelné rovnice ve tvaru

$$\ddot{q}_i + 2\Omega_i\zeta_i\dot{q}_i + \Omega_i^2q_i = f_i, \quad f_i = \phi_i \cdot \mathbf{F}, \quad i \in \langle 1, N \rangle$$

kde bere rovnice pro  $10^1 \div 10^2$  nejnižších vlastních frekvencí.

### 3 Redukce modelů poddajných struktur pro syntézu řízení. Zohlednění vypuštěných stavů soustavy pomocí reziduí.

$$\begin{bmatrix} \dot{\mathbf{x}}_a \\ \dot{\mathbf{x}}_b \end{bmatrix} = \begin{bmatrix} \mathbf{A}_{aa} & \mathbf{A}_{ab} \\ \mathbf{A}_{ba} & \mathbf{A}_{bb} \end{bmatrix} \begin{bmatrix} \mathbf{x}_a \\ \mathbf{x}_b \end{bmatrix} + \begin{bmatrix} \mathbf{B}_a \\ \mathbf{B}_b \end{bmatrix} \mathbf{u} \quad (5)$$

$$\mathbf{y} = \begin{bmatrix} \mathbf{C}_a & \mathbf{C}_b \end{bmatrix} \begin{bmatrix} \mathbf{x}_a \\ \mathbf{x}_b \end{bmatrix} + \mathbf{D}\mathbf{u} \quad (6)$$

#### Můj vlastní přístup k dělení $A$

Pro systém ve tvaru

$$\mathbf{M}\ddot{\mathbf{x}} + \mathbf{B}\dot{\mathbf{x}} + \mathbf{K}\mathbf{x} = \mathbf{F} \quad (7)$$

$$\mathbf{A} = \begin{bmatrix} 0 & 0 & 1 & 0 \\ 0 & 0 & 0 & 1 \\ -K_{11} & -K_{12} & -B_{11} & -B_{12} \\ -K_{21} & -K_{22} & -B_{21} & -B_{22} \end{bmatrix} \quad (8)$$

$$K_{11} = V_1^T K V_1 \quad B_{11} = V_1^T B V_1 \quad (9)$$

$$K_{21} = V_2^T K V_1 = 0 \quad B_{21} = V_2^T B V_1 \quad (10)$$

$$K_{12} = V_1^T K V_2 = 0 \quad B_{12} = V_1^T B V_2 \quad (11)$$

$$K_{22} = V_2^T K V_2 \quad B_{22} = V_2^T B V_2 \quad (12)$$

$$A_{11} = \begin{bmatrix} 0_{n \times n} & 1_{n \times n} \\ -K_{11} & -B_{11} \end{bmatrix}, \quad (13)$$

$$A_{21} = \begin{bmatrix} 0_{(N-n) \times n} & 0_{(N-n) \times n} \\ 0_{(N-n) \times n} & -B_{21} \end{bmatrix}, \quad (14)$$

$$A_{12} = \begin{bmatrix} 0_{n \times (N-n)} & 0_{n \times (N-n)} \\ 0_{n \times (N-n)} & -B_{12} \end{bmatrix}, \quad (15)$$

$$A_{22} = \begin{bmatrix} 0_{(N-n) \times (N-n)} & 1_{(N-n) \times (N-n)} \\ -K_{22} & -B_{22} \end{bmatrix} \quad (16)$$

### 3.1 Truncation

Vypouštím stavy  $\mathbf{x}_b$  ze systému.

$$\dot{\mathbf{x}}_a = \mathbf{A}_{aa} \mathbf{x}_a + \mathbf{B}_a \mathbf{u} \quad (17)$$

$$\mathbf{y} = \mathbf{C}_a \mathbf{x}_a + \mathbf{D} \mathbf{u} \quad (18)$$

### 3.2 Singular Perturbation Approximation

Dělám aproximaci  $\dot{\mathbf{x}} = \mathbf{0}$

$$\dot{\mathbf{x}}_b = \mathbf{A}_{ba} \mathbf{x}_a + \mathbf{A}_{bb} \mathbf{x}_b + \mathbf{B}_b \mathbf{u} = \mathbf{0} \quad \Rightarrow \quad \mathbf{x}_b = -\mathbf{A}_{bb}^{-1} \mathbf{A}_{ba} \mathbf{x}_a - \mathbf{A}_{bb}^{-1} \mathbf{B}_b \mathbf{u} \quad (19)$$

$$\dot{\mathbf{x}}_a = (\mathbf{A}_{aa} - \mathbf{A}_{ab} \mathbf{A}_{bb}^{-1} \mathbf{A}_{ba}) \mathbf{x}_a + (\mathbf{B}_a - \mathbf{A}_{ab} \mathbf{A}_{bb}^{-1} \mathbf{B}_b) \mathbf{u} \quad (20)$$

$$\mathbf{y} = (\mathbf{C}_a - \mathbf{C}_b \mathbf{A}_{bb}^{-1} \mathbf{A}_{ba}) \mathbf{x}_a + (\mathbf{D} - \mathbf{C}_b \mathbf{A}_{bb}^{-1} \mathbf{B}_b) \mathbf{u} \quad (21)$$

## 4 Balancovaný tvar stavového popisu soustavy, smysl tohoto tvaru při získání návrhového modelu.

*“The system triple  $(A, B, C)$  is open-loop balanced, if its controllability and observability grammians are equal and diagonal, as defined by Moore in [109],*

$$\begin{aligned}W_c &= W_o = \Gamma \\ \Gamma &= \text{diag}(\gamma_1, \dots, \gamma_N) \\ \gamma_i &\geq 0, \quad i = 1, \dots, N.\end{aligned}$$

*The matrix  $\Gamma$  is diagonal, and its diagonal entries  $\gamma_i$  are called Hankel singular values of the system (which were earlier introduced as eigenvalues of the product of the controllability and observability grammians).”*

*“The eigenvalues of the grammians change during the coordinate transformation. However, the eigenvalues of the grammian product are invariant. It can be shown as follows:*

$$\lambda_i(W_{cn}W_{on}) = \lambda_i(R^{-1}W_cR^{-T}R^TW_oR) = \lambda_i(R^{-1}W_cW_oR) = \lambda_i(W_cW_o).$$

These invariants are denoted  $\gamma_i$ ,

$$\gamma_i = \sqrt{\lambda_i(W_cW_o)}, \quad i = 1, \dots, N,$$

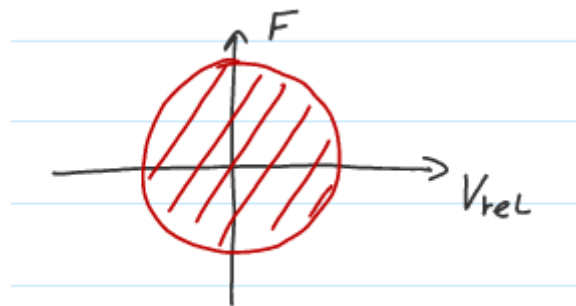
*and are called the Hankel singular values of the system.”*

## 5 Typy aktivních a poloaktivních aktuátorů používaných v mechatronických systémech, hlavní vlastnosti, důsledky pro použití.

### 5.1 Aktivní aktuátory

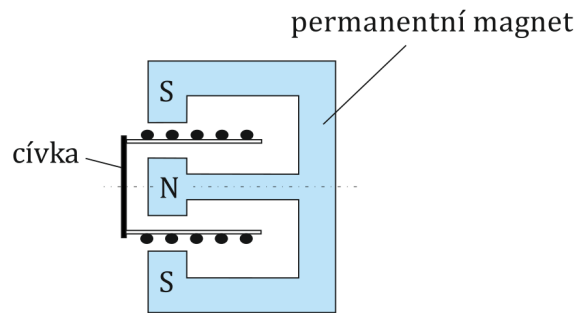
Zdroje řízených akčních sil

- piezelektrické materiály - velký poměr síla/hmotnost, ale nízký zdvih
  - piezostack - nižší napětí oproti obyčejným piezo.
  - amplified piezo actuator
- hydraulické aktuátory - nízká šířka pásma řízení síly
- elektromagnetické (voice coil actuator) - možnost skoro nulové tuhosti



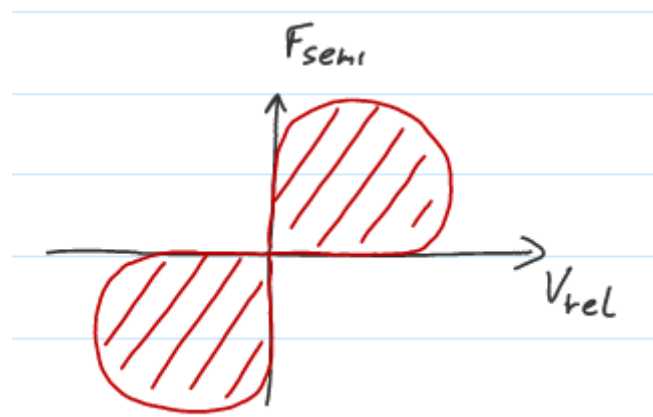
### 5.2 Poloaktivní

Zdroje řízených tlumících sil (řízená disipace energie)



Obrázek 1: Voice coil

- tlumič s magnetoreologickou kapalinou
- tlumič se škrtícím ventilem



## 6 Snižování vibrací (low-authority) versus řízení pohybu/polohy (high-authority). Princip, příklady

*“The control forces that act on a structure can be divided into tracking forces and damping forces. The tracking forces move the structure to follow a target and the damping forces act on the structure to suppress vibrations. Typically, the tracking forces are significantly larger than the damping forces. For this reason a structural controller can be divided into low- and high-authority controllers. The low-authority controller is the one that uses a limited input (torque, force) to control the vibrations of a system.”*

*“the control system action on a flexible structure can be separated into two stages: stage one, when damping is added to a structure and vibrations are suppressed showing faster decay; and stage two, of “total” system motion where the damping is little affected.”*

### LAC

- často využívá kolokace aktuátoru a senzoru, pro zvýšení robustnosti a decentralizované přístupy k řízení.
- Positive Position Feedback, Integral Force Feedback

## HAC

- Rekonstrukce stavů pomocí stavového pozorovatele
- Computed Torques, LQG (LQR + Kalman filtr)

## 7 Aktivní absorbce kmitů soustav, příklad návrhu řízení

Využívá se antirezonance tzn. kmitání soustavy, při které je nulá výchylka v místě buzení, zatímco kmitá jiná část soustavy. Pro tento účel se montují na mechanismy “hltiče” vibrační v podobě hmoty spojené se zbytkem soustavy pomocí aktivních prvků.

Výsledkem připojení hltiče je systém ve tvaru

$$\dot{\mathbf{x}} = \mathbf{A}\mathbf{x} + \mathbf{B}\mathbf{u} + \mathbf{B}_{\text{akt}}\mathbf{u}_{\text{akt}} \quad (22)$$

$$\mathbf{y} = \mathbf{C}\mathbf{x} \quad (23)$$

Pokud máme přístup ke stavu systému, můžeme zavést lineární zpětnou vazbu

$$\mathbf{u}_{\text{akt}} = -\mathbf{K}\mathbf{x} \quad (24)$$

s důsledkem na stavový popis

$$\dot{\mathbf{x}} = \underbrace{(\mathbf{A} - \mathbf{B}_h\mathbf{K})}_{\mathbf{A}_{\text{akt}}} \mathbf{x} + \mathbf{B}\mathbf{u} \quad (25)$$

Převodem do frekvenční oblasti získáme systém

$$\mathbf{y}(s) = \mathbf{H}(s)\mathbf{u}, \quad \mathbf{H}(s) = \mathbf{C}(s\mathbf{I} - \mathbf{A}_{\text{akt}})^{-1}\mathbf{B} \quad (26)$$

kde nuly přenosu  $\mathbf{H}(s)$  můžeme manipulovat volbou  $\mathbf{K}$ .

## 8 Mechatronická tuhost. Princip, model, příklad návrhu řízení.

Koncept založený na použití pomocné sekundární struktury k navýšení dynamické tuhosti primární struktury a to jejich spojením pomocí aktivního prvku. Podmínka říditelnosti říká, že vlastní frekvence primární a sekundární struktury se musí lišit.

## 9 Aktivní tlumení vibrací pomocí kolokovaných aktuátorů a senzorů. Příklad s použitím planárních piezo-aktuátorů.

*“Collocated controllers have their sensors collocated with actuators. They are a special case of the dissipative controllers, which are designed based on the passivity principle.”*

As stated by Joshi [83, p. 45] “the stability of dissipative controllers is guaranteed regardless of the number of modes controlled (or even modeled), and regardless of parameter errors.”

*“As a corollary, consider a system with the state-space representation  $(A, B, C)$ , which has collocated sensors and actuators, that is,  $C = B^T$ . In this case, a closedloop system with the proportional feedback gain*

$$\mathbf{u} = -\mathbf{K}\mathbf{y}$$

*is stable, for  $\mathbf{K} = \text{diag}(k_i), i = 1, \dots, r$  and  $k_i > 0$ .”*

## 10 Aktivní vibroizolace soustav, integrální silová zpětná vazba, příklad návrhu řízení.

Nahradíme piezostackem s tuhostí  $k$ , nastavitelnou volnou délkou  $l_0(u) = l_{00} + qu$  a pozitivní, integrální, silovou zpětnou vazbou  $u = p \int F dt$ , kde  $p$  je volitelný parametr.

Pohybová rovnice systému bude nabývat tvar

$$m\ddot{y} = - \underbrace{k(y - z_0(t) - qu)}_F \quad (27)$$

Dosazením z pohybové rovnice můžeme určit tvar akčního zásahu

$$u = p \int F dt = p \int -m\ddot{y} = -pm\dot{y} + C \quad (28)$$

Dosazením tvaru akčního zásahu zpět do pohybové rovnice získáme pohybovou rovnici tlumeného systému

$$m\ddot{y} = -k(y - z_0(t)) - \underbrace{kmpq}_{b_{sky}} \dot{y} - kqC \quad (29)$$

kde hodnotu  $b_{sky}$  můžeme ladit volbou parametru  $p$

## 11 Říditelnost a pozorovatelnost, Gramián říditelnosti a pozorovatelnosti

Uvažujme lin. systém ve tvaru

$$\begin{aligned} \dot{\mathbf{x}} &= \mathbf{A}\mathbf{x} + \mathbf{B}\mathbf{u} \\ \mathbf{y} &= \mathbf{C}\mathbf{x} + \mathbf{D}\mathbf{u} \end{aligned}$$

### Říditelnost

Systém je říditelný pokud jej lze z libovolného stavu  $\mathbf{x} \in \mathbb{R}^n$  dostat do stavu nulového  $\mathbf{x} = \mathbf{0}$  působením vstupů  $\mathbf{u}$ .

### Matice říditelnosti

$$\mathbf{C} = \begin{bmatrix} \mathbf{B} & \mathbf{AB} & \mathbf{A}^2\mathbf{B} & \dots & \mathbf{A}^{n-1}\mathbf{B} \end{bmatrix} \quad (30)$$

Pokud  $\mathbf{C}$  je plné hodnosti, systém je říditelný.

### Gramián říditelnosti

$$\mathbf{W}_c = \int_0^\infty e^{\mathbf{A}\tau} \mathbf{B} \mathbf{B}^T e^{\mathbf{A}^T \tau} d\tau \quad (31)$$

Vlastní vektory  $\mathbf{W}_c$  patří k největším vlastním číslům jsou nejlépe říditelné směry ve stavovém prostoru. Podmíněností  $\mathbf{W}_c$  můžeme hodnotit celkovou říditelnost systému (ve všech směrech stavového prostoru).



## Pozorovatelnost

Systém je pozorovatelný pokud na konečném časovém intervalu lze ze změřeného průběhu vstupů  $\mathbf{u}$  a výstupů  $\mathbf{y}$  určit stav systému na počátku intervalu  $\mathbf{x}_0 \in \mathbb{R}^n$ .

### Matice pozorovatelnosti

$$\mathcal{O} = \begin{bmatrix} C \\ CA \\ CA^2 \\ \vdots \\ CA^{n-1} \end{bmatrix} \quad (32)$$

Pokud  $\mathcal{O}$  je plné hodnosti, systém je pozorovatelný.

### Gramián pozorovatelnosti

$$\mathbf{W}_o = \int_0^\infty e^{A\tau} C C^T e^{A^T \tau} d\tau \quad (33)$$

Vlastní vektory  $\mathbf{W}_o$  patřící k největším vlastním číslům jsou nejlépe pozorovatelné směry ve stavovém prostoru. Podmíněností  $\mathbf{W}_o$  můžeme hodnotit celkovou pozorovatelnost systému (ve všech směrech stavového prostoru).

## 12 Computed Torques

$$\mathbf{M}(\mathbf{q}) + \mathbf{N}(\mathbf{q}, \dot{\mathbf{q}}) = \boldsymbol{\tau} \quad (34)$$

$$\mathbf{e} = \mathbf{q}_d - \mathbf{q} \quad (35)$$

$$\dot{\mathbf{e}} = \dot{\mathbf{q}}_d - \dot{\mathbf{q}} \quad (36)$$

$$\ddot{\mathbf{e}} = \ddot{\mathbf{q}}_d - \ddot{\mathbf{q}} = \ddot{\mathbf{q}}_d - \mathbf{M}(\mathbf{q})^{-1} \boldsymbol{\tau} + \mathbf{M}(\mathbf{q})^{-1} \mathbf{N}(\mathbf{q}, \dot{\mathbf{q}}) \quad (37)$$

$$\frac{d}{dt} \begin{bmatrix} \mathbf{e} \\ \dot{\mathbf{e}} \end{bmatrix} = \begin{bmatrix} \mathbf{0} & \mathbf{I} \\ \mathbf{0} & \mathbf{0} \end{bmatrix} \begin{bmatrix} \mathbf{e} \\ \dot{\mathbf{e}} \end{bmatrix} + \begin{bmatrix} \mathbf{0} \\ \mathbf{I} \end{bmatrix} \mathbf{u} \quad (38)$$

$$\ddot{\mathbf{e}} = \mathbf{u} \quad (39)$$

$$\mathbf{u} = -k_p \mathbf{e} - k_d \dot{\mathbf{e}} - k_i \boldsymbol{\varepsilon}, \quad \dot{\boldsymbol{\varepsilon}} = \mathbf{e} \quad (40)$$

$$\boldsymbol{\tau} = \mathbf{M}(\mathbf{q})(\ddot{\mathbf{q}}_d + k_p \mathbf{e} + k_d \dot{\mathbf{e}} + k_i \boldsymbol{\varepsilon}) + \mathbf{N}(\mathbf{q}, \dot{\mathbf{q}}) \quad (41)$$

- 13 Použití optimalizačních metod pro syntézu řízení. Aktivní a poloaktivní aktuátory, lineární a nelineární soustavy (ilustrace na příkladu nelineární soustavy).